# ПРИМЕНЕНИЕ КУБИЧЕСКОГО КАРБИДА ВОЛЬФРАМА WC<sub>1-х</sub>, ПОЛУЧЕННОГО С ПОМОЩЬЮ УСКОРИТЕЛЯ ПЛАЗМЫ, В КАЧЕСТВЕ ЭЛЕКТРОКАТАЛИЗАТОРА В ТОПЛИВНЫХ ЭЛЕМЕНТАХ

К.Н. Шатрова

shatrova.xiusha@yandex.ru

Научный руководитель: Сивков А.А., д.т.н., профессор, Томский политехнический университет

#### Введение

Водородный топливный элемент (ТЭ) представляет собой электрохимическое устройство, преобразующее энергию химической реакции соединения водорода с кислородом напрямую в электричество, минуя малоэффективные процессы горения. Такое электрохимическое превращение позволяет ТЭ достигать КПД до 80 %. Кроме того, ТЭ не производит вредных выбросов, так как единственным продуктом реакции при его работе является вода. Поэтому в настоящее время топливные элементы рассматриваются как перспективные источники электрической энергии, однако их широкому применению препятствует ряд факторов, основным из которых является высокая стоимость. Высокая стоимость ТЭ обусловлена использованием электродов с нанесенным на них платиновым катализатором. Таким образом, разработка недорогих электрокатализаторов с высокой активностью для топливных элементов является ключевой задачей [1–3].

С тех пор как R.B. Levy and M. Boudart [4] обнаружили, что карбид вольфрама обладает каталитическими свойствами, аналогичными металлам платиновой группы для некоторых химических реакций, ученые стали предпринимать попытки его применения в топливных элементах. Однако вскоре было обнаружено, что использование одного карбида вольфрама в качестве катализатора для ТЭ не показывает ожидаемой активности. При этом было замечено, что при взаимодействии платина и карбид вольфрама проявляют синергетический эффект, который заключается в повышении электрокаталитической активности относительно платинового катализатора [5].

В настоящее время предлагаются различные методы получения карбидов вольфрама для использования их в качестве подложки для платины в топливных элементах. Ү. Hara, N. Minami and H. Itagaki представили метод получения различных фаз карбидов вольфрама с высокой площадью поверхности. Синтезированные таким образом карбиды показали следующее соотношение электрокаталитической активности для реакции окисления водорода:  $\mathrm{WC} > \mathrm{WC}_{1 ext{-}\mathrm{X}} > \mathrm{W}_2\mathrm{C}$ . При этом добавление небольшого количества Pt к WC способствовало заметному увеличению анодной тока. Кроме того, удельная активность таких карбидов оказалась выше, чем у коммерческого катализатора [5]. Наночастицы карбида вольфрама (WC) были получены на пластинчатых углеродных нановолокнах (p-CNFs) для использования в качестве катализатора в прямых щелочных топливных элементах. Синтезированный материал WC/p-CNFs показал улучшенную каталитическую активность в отноше-нии реакции окисления этанола по сравнению с p-CNFs благодаря синергетическому эффекту между наночастицами WC и нановолокнами p-CNFs, при котором максимальная плотность тока составила 9,0 мА·см<sup>-2</sup> [6]. В работе [7] представлен процесс химического синтеза мезопористого композицион-ного материала, состоящего из платины Pt, карбида вольфрама WC и углерода C. Полученный ком-позит показал улучшенные характеристики процесса окисления метанола, о чем свидетельствовало увеличение максимальной плотности тока по сравнению с использованием угольной пластины (матрицы) с нанесенным коммерческим платиновым катализатором.

В данной работе предлагается метод получения кубической фазы карбида вольфрама  $WC_{1-x}$  в процессе прямого плазмодинамического синтеза для дальнейшего его использования в качестве основного компонента электрокатализатора в топливных элементах.

### Экспериментальная часть

Предлагаемый способ получения  $WC_{1-x}$  основан на использовании коаксиального магнито-плазменного ускорителя (КМПУ) [8]. Подробно методика проведения эксперимента описана в наших предыдущих работах [9, 10].

В качестве исходного реагента использовался микронный порошок вольфрама, который за-кладывался в зону формирования плазменной структуры сильноточного дугового разряда.

Импульсное электропитание КМПУ осуществлялось от емкостного накопителя энергии емко-стью 6,0 мФ и зарядным напряжением 3,0 кВ. При подключении источника питания разрядный ток протекал по порошкообразной вольфрамовой перемычке, материал которой переходил в плазму, ко-торая ускорялась в графитовой коаксиальной системе.

Плазменный выстрел производился в камеру-реактор, заполненную аргоном при нормальных условиях.

Просвечивающая электронная микроскопия (TEM) продукта синтеза выполнена с помощью микроскопа JEOL JEM 2100F.

Электрокаталитические свойства синтезированного карбида вольфрама  $WC_{1-X}$  исследовались с помощью электрохимического анализатора Potentiostat CHI760e (CH Instruments).

#### Результаты аналитических исследований

На рис. 1 представлены результаты просвечивающей электронной микроскопии продукта синтеза. Анализ микроэлектронных снимков показал, что полученный материал состоит из двух типов объектов: первый – округлые темные частицы размером до 60 нм, соответствующие фазе кубическо-го карбида вольфрама; второй – менее плотные объекты, представляющие собой графитовую матрицу [9].

На картине дифракции электронов (рис. 1,  $\delta$ ) можно идентифицировать 2 размытых кольца, принадлежащие фазе ультрадисперсного графита, и отдельные максимумы, соответствующие меж-плоскостным расстояниям кубического карбида вольфрама  $WC_{1-x}$ .

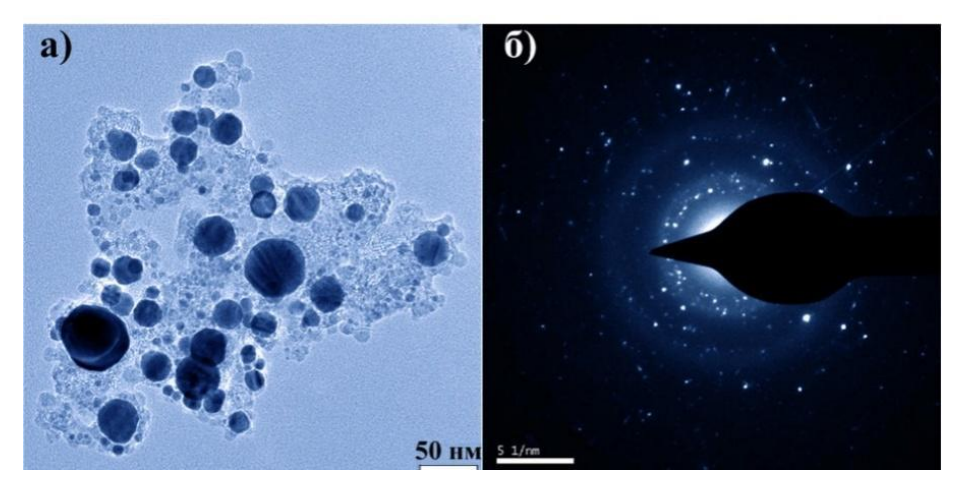


Рисунок 1. Результаты просвечивающей электронной микроскопии высокого разрешения

На рис. 2 представлены графики Тафеля для реакции окисления водорода при использовании только синтезированного  $WC_{1-x}$  (WC); смеси  $10\,\%$  (масс) промышленного платинового катализатора Pt и  $90\,\%$  (масс) синтезированного  $WC_{1-x}$  (10Pt-WC); смеси  $20\,\%$  (масс) Pt и  $80\,\%$  (масс)  $WC_{1-x}$  (20Pt-WC); промышленного платинового катализатора на углеродном носителе (Pt-C). Были найде-ны значения тафелевских наклонов для исследуемых образцов: WC > 20Pt-WC > 10Pt-WC > Pt-C. Согласно полученному соотношению, скорость переноса зарядов в реакции электроокисления водо-рода у образца 10Pt-WC практически не отличается от Pt-C, т. е. каталитические активности 10Pt-WC и Pt-C почти одинаковы.

Кроме того, была исследована стабильность  $WC_{1-x}$ . На рисунке 3 приведены кривые поляриза-ции, полученные для кубического  $WC_{1-x}$ . Эти поляризационные кривые были зафиксированы изна-чально для свежеприготовленных электродов, а затем после 500 и 1000 потенциальных циклов. Как видно из рисунка 3, мы наблюдаем неожиданный результат: после 1000 циклов активность  $WC_{1-x}$  практически не изменилась.

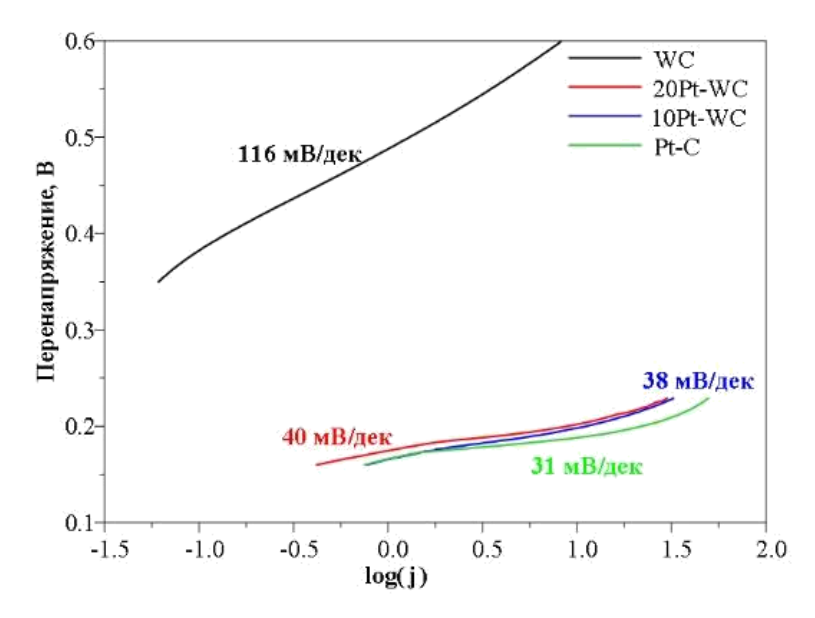


Рисунок 2. Графики Тафеля для реакции окисления водорода

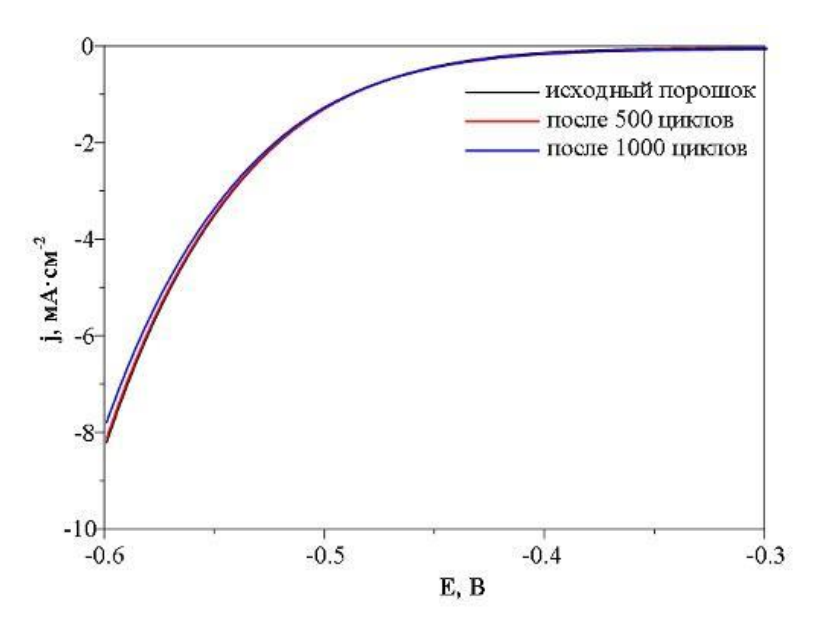


Рисунок 3. Результаты исследования стабильности WC<sub>1-х</sub>

#### Заключение

Таким образом, в данной работе показана возможность использования кубического карбида вольфрама, полученного с помощью коаксиального ускорителя плазмы, в качестве альтернативного высокоактивного платинозамещающего катализатора для топливных элементов. А также было обнаружено, что в электрокатализаторе для ТЭ содержание платины может быть снижено до  $10\,\%$  (масс) за счет замещения кубическим карбидом вольфрама при практически неизменной активности.

## Список литературы

- 1. K. Huang, K. Bi, J.C. Xu, C. Lianga, S. Lin, W.J. Wang, T.Z. Yang, Y.X. Duc, R. Zhang, H.J. Yang, D.Y. Fan, Y.G. Wang, M. Lei // Electrochimica Acta, v. 174, p. 172, (2015).
- 2. A. Hassan, V.A. Paganin, E.A. Ticianelli // Applied Catalysis B: Environmental, v. 165, p. 611, (2015).

- 3. Ch. Tang, D. Wang, Zh. Wu, B. Duan // International Journal of Hydrogen Energy, v. 40, № 8, p. 3229, (2015).
- 4. R.B. Levy, M. Boudart // Science, v. 181, p 547, (1973).
- 5. Y. Hara, N. Minami, H. Itagaki // Applied Catalysis A: General, v. 323, p.86, (2007).
- 6. Y. Oh, S.-K. Kim, D.-H. Peck, J.-s. Jang, J. Kim, D.-H. Jung // Int. J. of Hydrogen Energy, v. 39, № 28, p.15907, (2014).
- 7. Ch. Ma, L. Kang, M. Shi, X. Lang, Y. Jiang // J. of Alloys and Compounds, v. 588, p.481, (2014).
- 8. А.А. Сивков, А.Я. Пак // Патент РФ № 2431947. H05H 11/00, F41B 6/00. Коаксиальный магнито-плазменный ускоритель. Опубл. 20.10.2011. Бюл. № 29.
- 9. A. Pak, A. Sivkov, I. Shanenkov, I. Rahmatullin, K. Shatrova // Int. Journal of Refractory Metals & Hard Materials, v. 48, p. 51, (2015).
- 10. A.A. Sivkov, A.Y. Pak, I.I. Shanenkov, Y.L. Kolganova, K.N. Shatrova // IOP Conference Series: Materials Science and Engineering, v. 66, № 1, p. 012001, (2014).